

Détermination du niveau des océans par satellites

N° candidat : 49003

PLAN

1-introduction générale

2-Etude de l'orbite

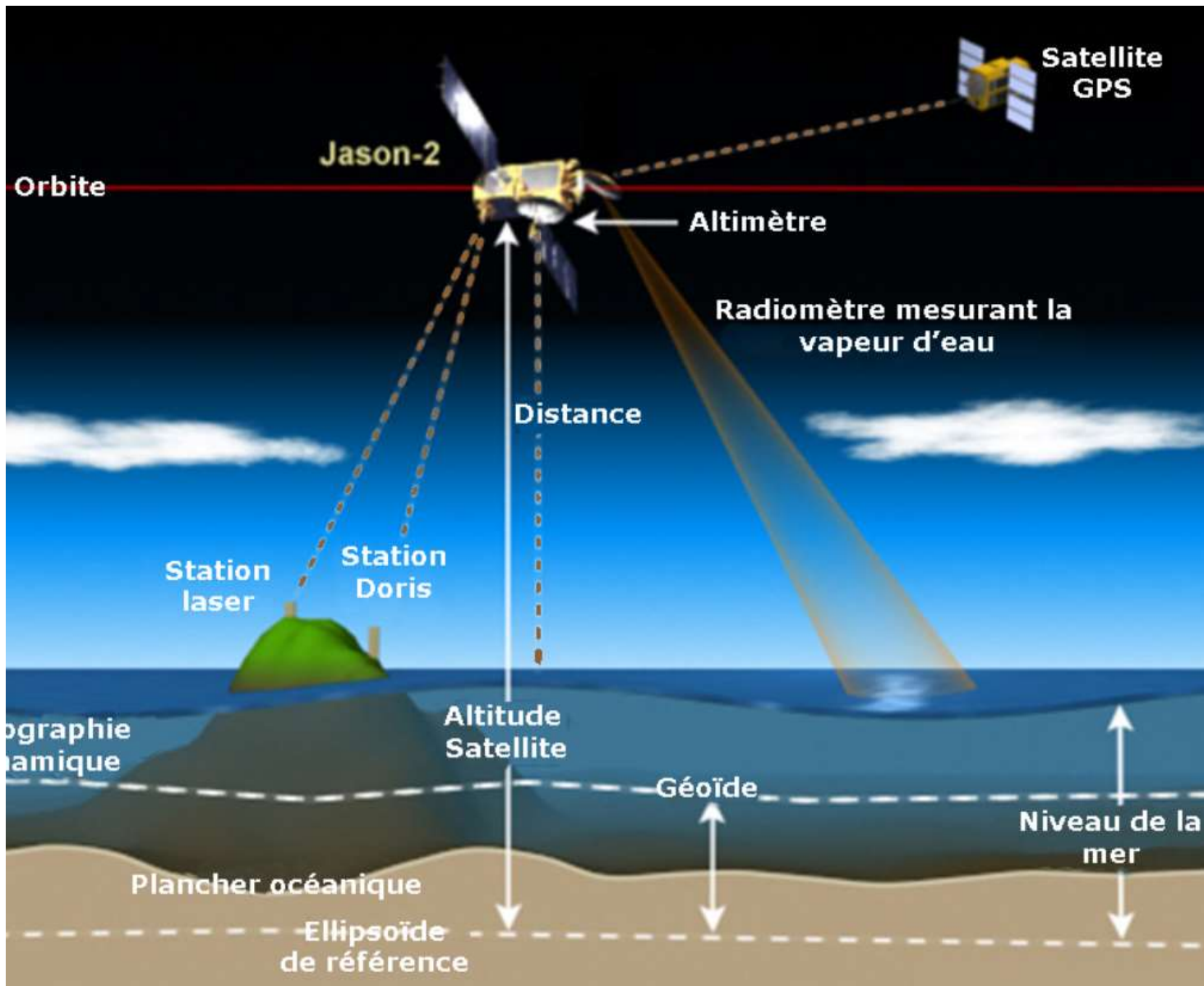
3- Propagation de l'onde

4-Réflexion de paquets d'onde sur la mer

5-Pénétration de l'onde électromagnétique dans l'eau

6-L'allure de l'océan

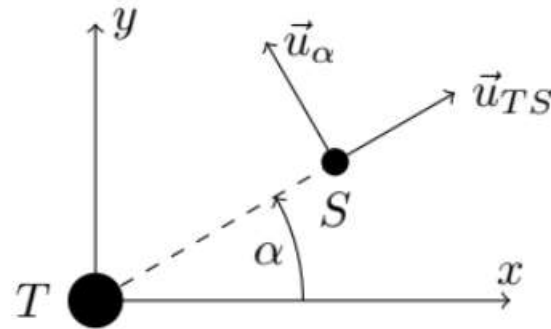
7-Conclusion



1- Introduction sur les techniques de télédétection

2-ETUDE DE L'ORBITE :

Modélisation du problème :



*le référentiel géocentrique (Rg) est considéré comme galiléen et seule l'action de la terre est prise en compte .

$$\vec{F} = -GmM \frac{\overrightarrow{TS}}{TS^3}$$

*la force de gravitation \vec{F} qu'exerce la Terre (centre T, masse M) sur un

satellite (point matériel S, masse m) :

*la force est centrale, le mouvement est donc à moment cinétique conservatif :

$$\frac{d\vec{\sigma}}{dt} = \overrightarrow{TS} \wedge \vec{F} = \vec{0} \Rightarrow \vec{\sigma} = m \overrightarrow{TS} \wedge \vec{v} = \overrightarrow{cste}$$

Theorème de moment cinétique nous donne :

*****Le mouvement est donc plan *****

* La force est conservative, l'énergie mécanique se conserve

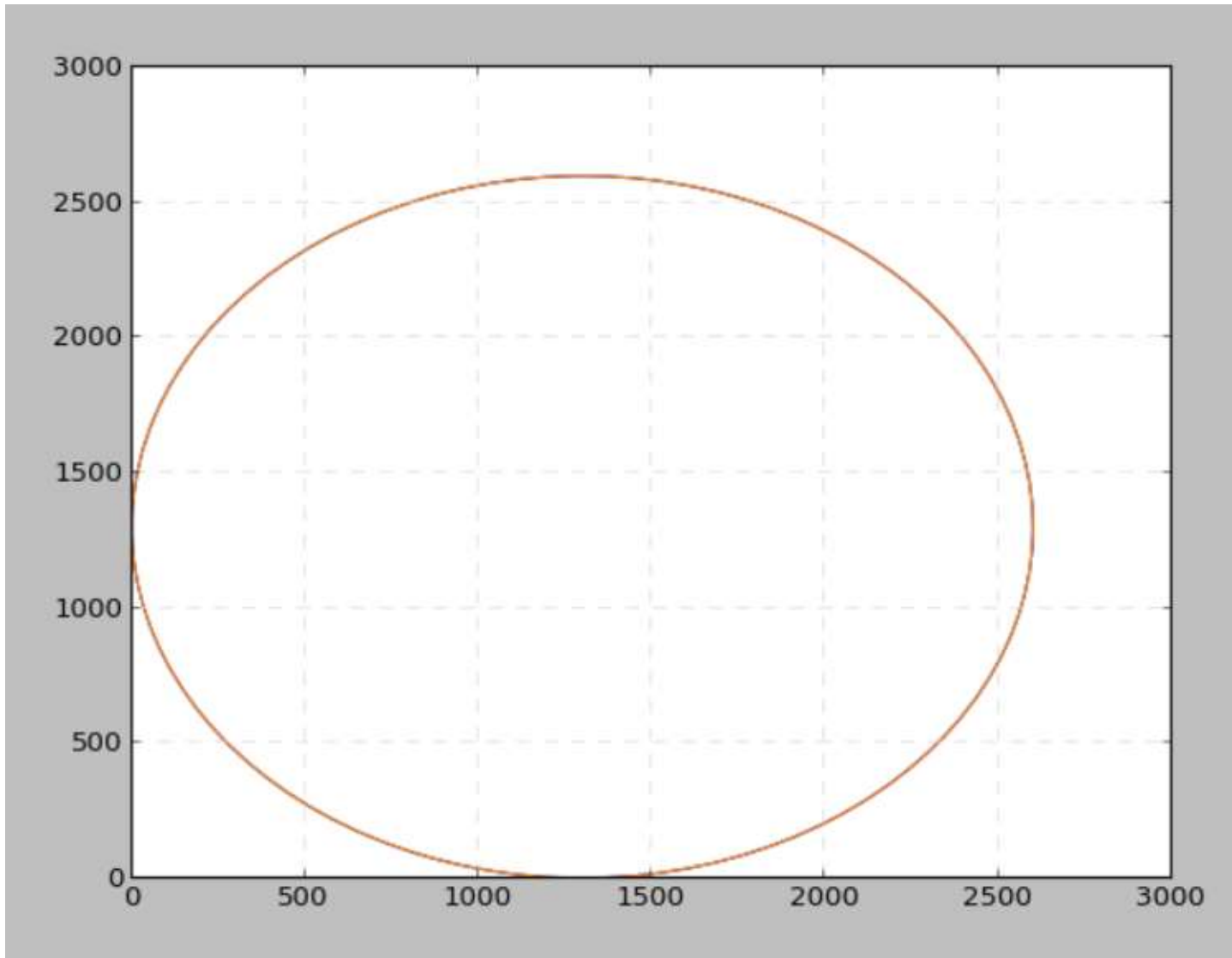
$$Em = Ec + Ep = \frac{1}{2}mv^2 - \frac{GmM}{r}$$

Le mouvement est donc plan

La deuxième loi de newton nous donne : $v = \sqrt{\frac{GM_T}{TS}}$

La première loi de Kepler nous donne : le mouvement du satellite est un ellipse

La période de révolution du satellite: $T = \frac{2\pi TS}{V} \Leftrightarrow T = 2\pi \sqrt{\frac{TS^3}{GM}}$



Trajectoire de satellite Jason 3

(*annexe code 1*)

3-Propagation de l'onde

*Un gaz ionisé

*dans le plasma les particules sont soumises à la force de Lorenz : $\vec{F}l = q(\vec{E} + \vec{v} \wedge \vec{B})$

Due au champs électriques et magnétiques de l'onde .

* En négligeant l'effet de la pesanteur et les interactions entre les particules chargées, et on supposant que les particules sont non relativistes

* appliquant le PFD sur les électrons : $m \frac{d\vec{v}}{dt} = \vec{F}l \Leftrightarrow m \frac{d\vec{v}}{dt} = q\vec{E}$

D'où $\vec{v} = \frac{q}{jm\omega} \vec{E}$

Avec $q=-e$ pour les électrons et $q=e$ pour les cations

Or on a :
$$\vec{J} = \sum_i n_i q_i \vec{v}_i \Rightarrow \vec{J} = \frac{n_0 * e^2}{j\omega} \left(\frac{1}{m_e} + \frac{1}{m_c} \right)$$

Et puisque $m_c \gg m_e$ alors $\vec{AB} = \sigma \vec{E} = \left(\frac{n_0 e^2}{j m_e \omega} \right) \vec{E}$

• D'après les équations de Maxwell et on appliquant

$$\overrightarrow{rot}(\overrightarrow{rot}(\vec{E})) = \overrightarrow{grad}(\text{div}(\vec{E})) - \Delta \vec{E}$$

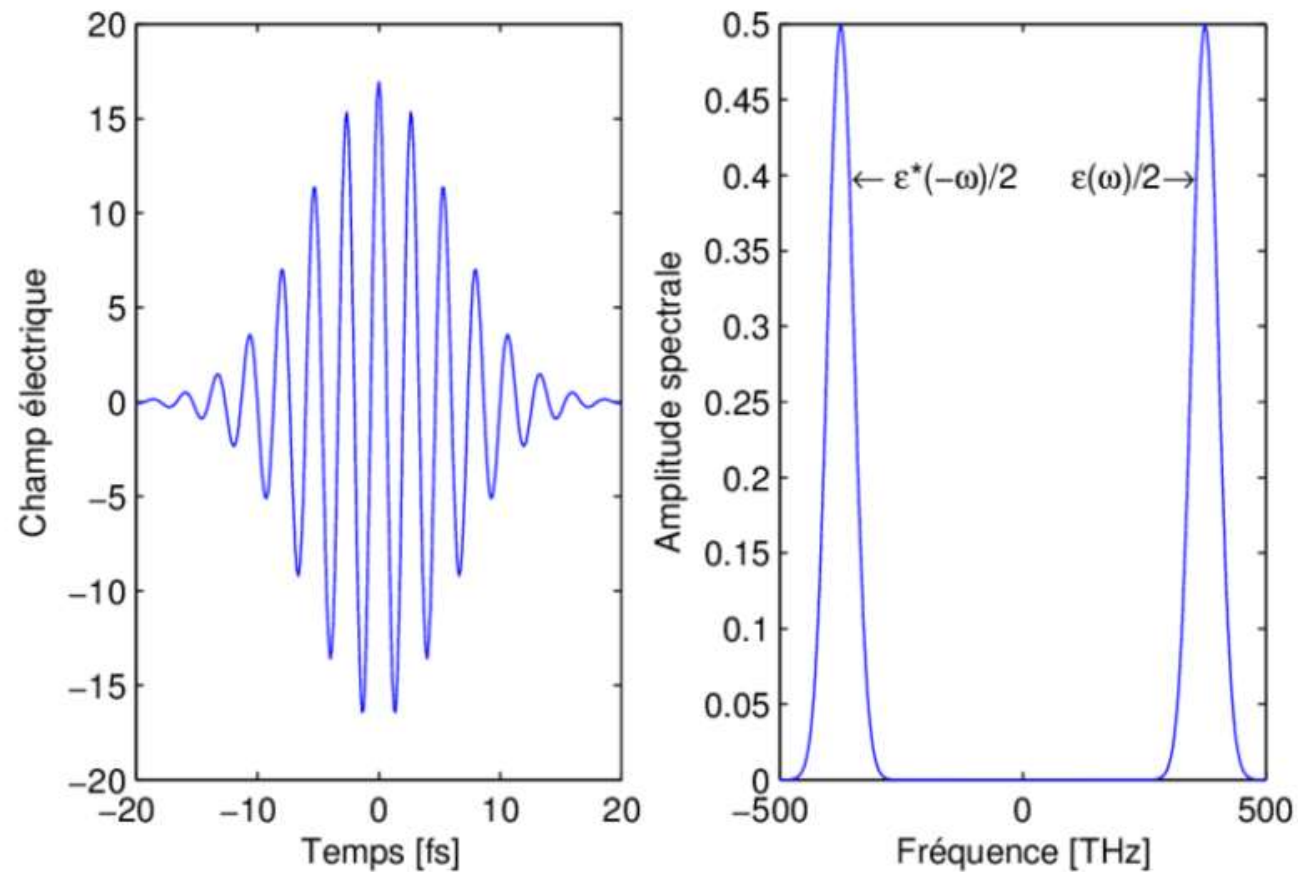
• on obtient
$$\Delta \vec{E} = \mu_0 \epsilon_0 \frac{d^2 \vec{E}}{dt^2} + \mu_0 \sigma \frac{d\vec{E}}{dt}$$

• Résolution :

• on cherche une solution de la forme :
$$\vec{E} = \vec{E}_0 e^{i(\omega t - \vec{k} \cdot \vec{r})}$$

• On obtient la relation de dispersion suivante :
$$k^2 = \frac{\omega^2 - \omega_p^2}{c^2}$$

Avec :
$$\omega_p^2 = \frac{\mu_0 c^2 n e^2}{m}$$



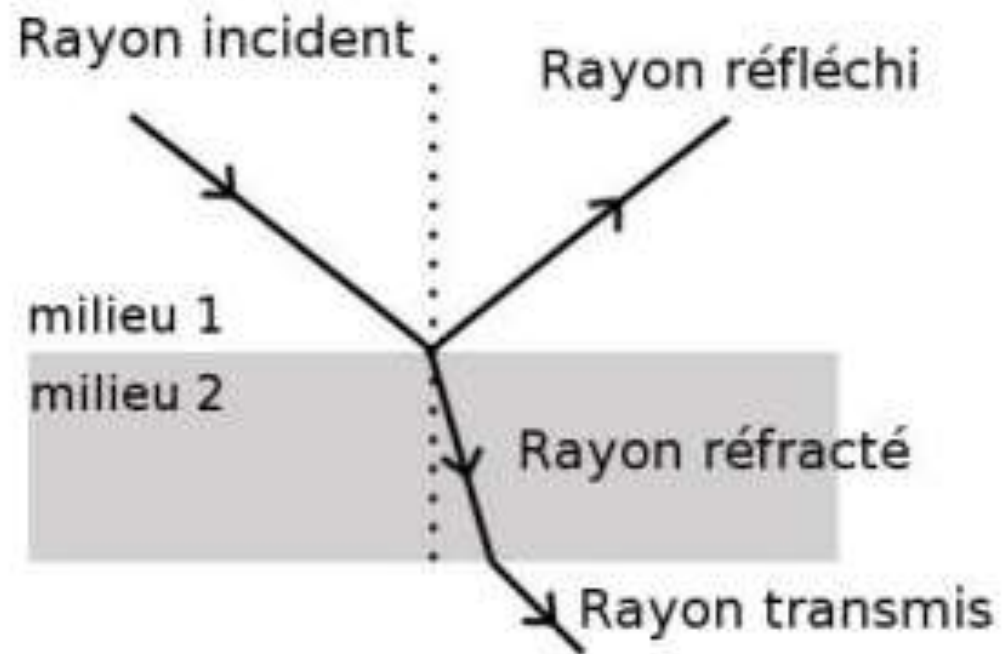
Définition d'un paquet d'onde

un **paquet d'onde**, ou **train d'onde**, est un ensemble des OPPM de pulsations voisines

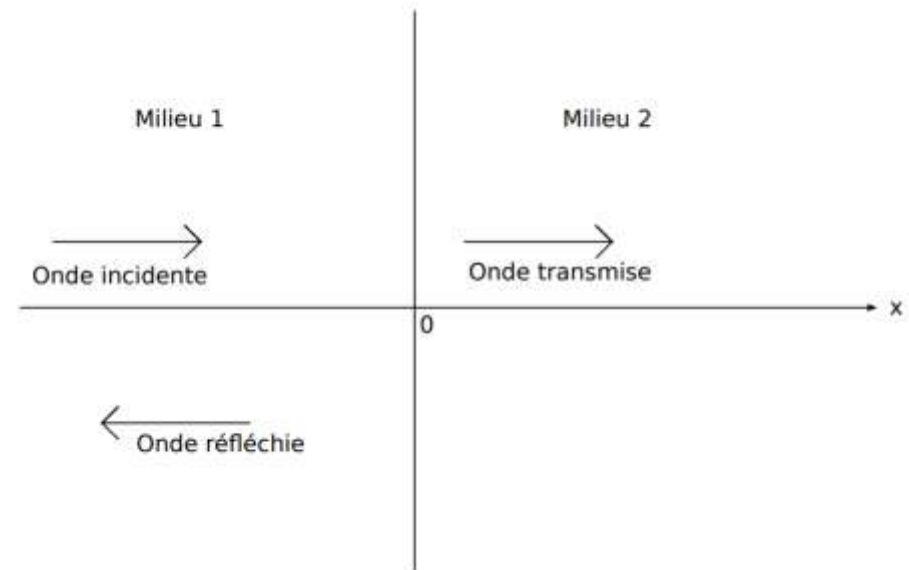
Leurs pulsations sont comprises entre

$$\omega_0 + \frac{\Delta\omega}{2} \quad \text{et} \quad \omega_0 - \frac{\Delta\omega}{2}$$

avec $\Delta\omega \ll \omega_0$



Réflexion et réfraction



4-Réflexion de paquets d'onde sur la mer

On peut considérer la mer comme un milieu semi fini

On définit le paquet d'onde par un spectre en pulsation : $A(\omega)$

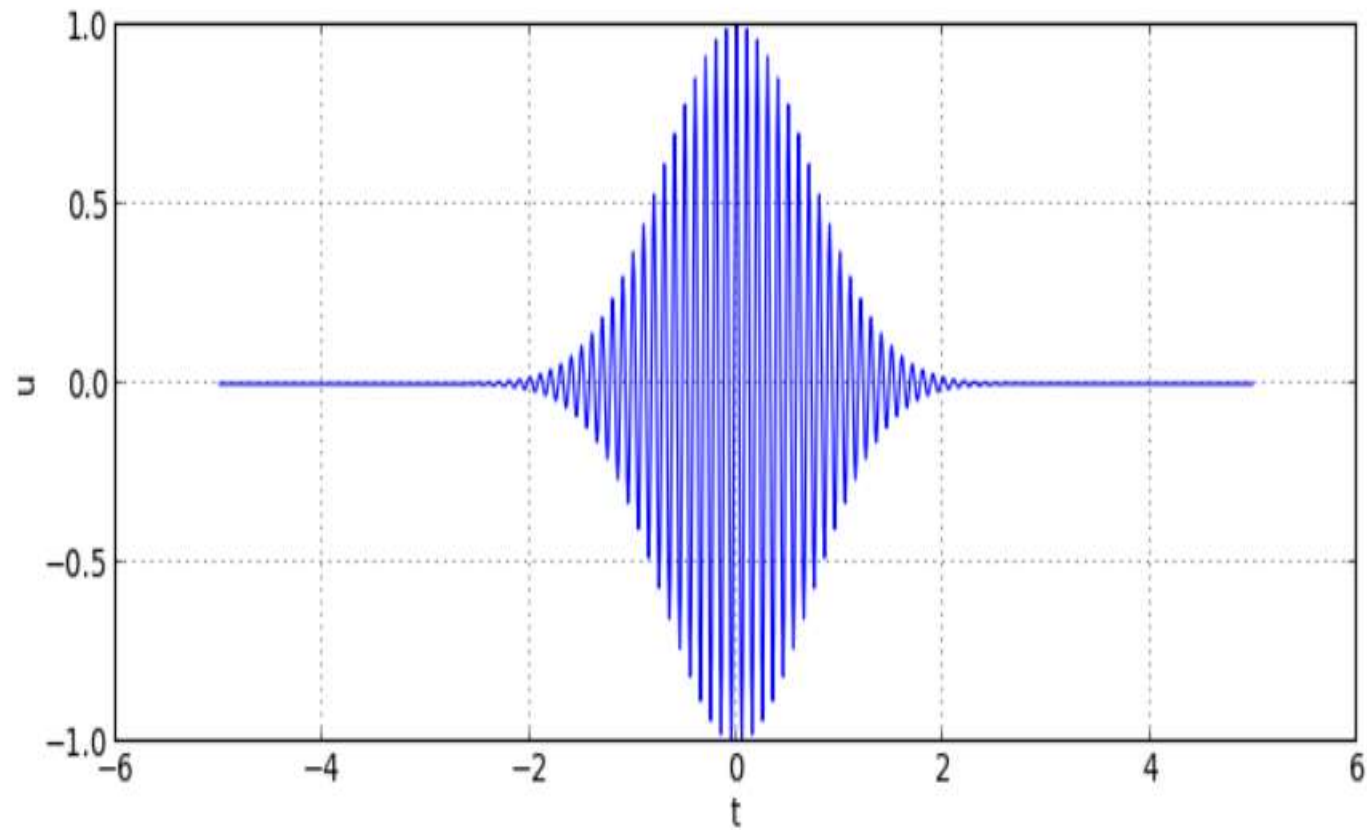
Le spectre souvent utilisé pour définir le paquet est le spectre gaussien

la fonction d'onde s'écrit : $\psi(x, t) = \sum_{n=N-P}^{N+P} A(n\omega_1) e^{i(k(n\omega_1)x - n\omega_1 t)}$

Avec ω_0 : la pulsation centrale et P le nombre de raies de part et d'autre

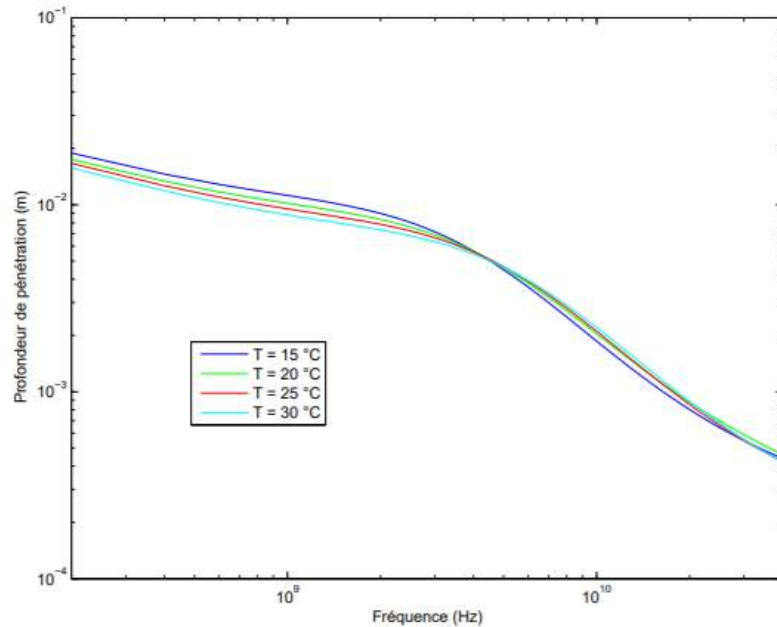
Dans le milieu 1: $\psi_1(x, t) = \sum_{n=N-P}^{N+P} A(n\omega_1) e^{i(k_1(n\omega_1)x - n\omega_1 t)} + \sum_{n=N-P}^{N+P} A(n\omega_1) r(n\omega_1) e^{i(-k_1(n\omega_1)x - n\omega_1 t)}$

Dans le milieu 2 : $\psi_2(x, t) = \sum_{n=N-P}^{N+P} A(n\omega_1) A(n\omega_1) e^{i(k_2(n\omega_1)x - n\omega_1 t)}$



Voir annexe code 2

5-Pénétration de l'onde électromagnétique dans l'eau



(b) Salinité 35‰, température variable.

On suppose que l'atmosphère, d'où provient l'onde incidente, est quasiment équivalente au vide. Le milieu d'incidence sera caractérisé par sa permittivité électrique relative et sa conductivité σ : $\eta = \varepsilon - i60\sigma\lambda$

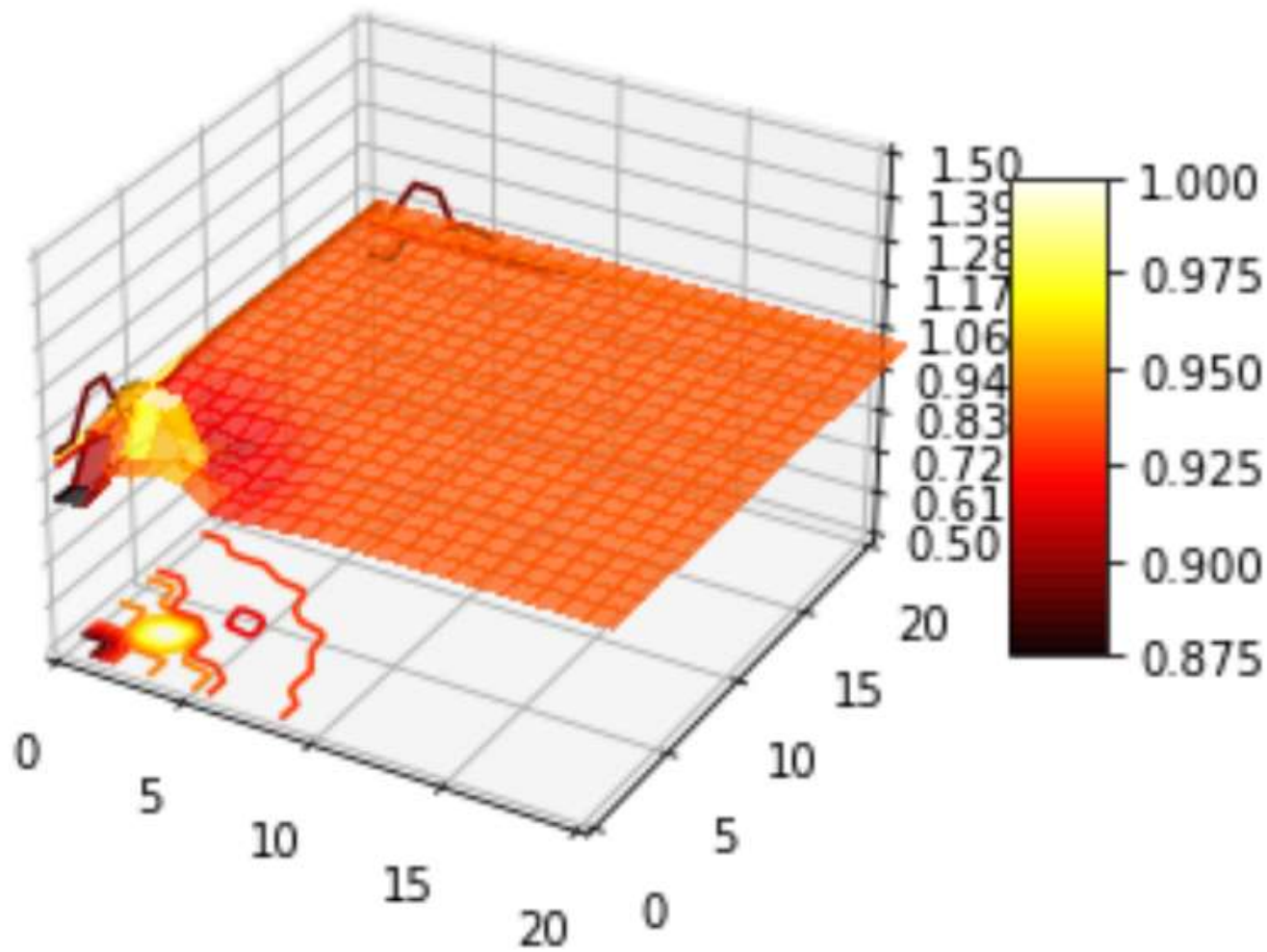
On aura alors l'angle de perte de milieu : $\alpha = \arctan\left(\frac{i60\sigma\lambda}{\varepsilon}\right)$

L'épaisseur de peau s'écrit alors : $\delta = \frac{\lambda}{2\pi \sqrt{\frac{\varepsilon}{\cos\alpha}} \sin \frac{\alpha}{2}}$

la figure dessous illustre la variation de l'épaisseur de peau de l'onde électromagnétique radar dans l'eau de mer, pour différentes températures:

6-L'allure de l'océan

Annexe code 3



7-Conclusion

Le satellite Jason a offert aux pays une possibilité de sauver la vie des milliers des gens en déclenchant une alerte au cas de détection des variations brutales de la surface de l'océan . Cette détection se fait en calculant les altitudes instantanées de la surface de l'eau.

**MERCI POUR
VOTRE
ATTENTION**

Annexe

Code 1 :

```
from matplotlib import pyplot as plt
from math import pi, cos, sin

u=1300      #x-position of the center      #radius on the y-axis
t_rot=pi*0.66 #rotation angle

t = np.linspace(0, 2*pi, 100)
Ell = np.array([u*np.cos(t) , u*np.sin(t)])
        #u,v removed to keep the same center location
R_rot = np.array([[cos(t_rot) , -sin(t_rot)],[sin(t_rot) , cos(t_rot)]])
        #2-D rotation matrix

Ell_rot = np.zeros((2,Ell.shape[1]))
for i in range(Ell.shape[1]):
    Ell_rot[:,i] = np.dot(R_rot,Ell[:,i])

plt.plot( u+Ell[0,:], u+Ell[1,:])      #initial ellipse
plt.plot( u+Ell_rot[0,:], u+Ell_rot[1,:], 'darkorange' )      #rotated ellipse
plt.grid(color='lightgray',linestyle='--')
plt.show()
```

```

import math
import numpy as np
from matplotlib.pyplot import *
from numpy.fft import fft
a=1.0
def signal(t):
    return math.exp(-t**2/a**2)
def tracerSpectre(fonction,T,fe):
    t = np.arange(start=-0.5*T,stop=0.5*T,step=1.0/fe)
    echantillons = t.copy()
    for k in range(t.size):
        echantillons[k] = fonction(t[k])
    N = echantillons.size
    tfd = fft(echantillons)/N
    spectre = T*np.absolute(tfd)
    freq = np.zeros(N)
    for k in range(N):
        freq[k] = k*1.0/T
    plot(freq,spectre,'r.')
    xlabel('f')
    ylabel('S')
    axis([0,fe,0,spectre.max()])
    grid()
    return tfd

a=1.0
b=0.1
def signal(t):
    return np.exp(-t**2/a**2)*np.cos(2.0*math.pi*t/b)
t = np.arange(start=-5,stop=5,step=0.01)
u = signal(t)
figure(figsize=(10,4))
plot(t,u)
xlabel('t')
ylabel('u')
grid()

```

Annexe

Code 2 :

```

import numpy as np

n = 20;

k = 10;
dt = 0.02;
dx = 1.0;
dy = 1.0;

h = np.ones((n+2,n+2))
u = np.zeros((n+2,n+2))
v = np.zeros((n+2,n+2))

hx = np.zeros((n+1,n+1))
ux = np.zeros((n+1,n+1))
vx = np.zeros((n+1,n+1))

hy = np.zeros((n+1,n+1))
uy = np.zeros((n+1,n+1))
vy = np.zeros((n+1,n+1))

nsteps = 0
h[1,1] = .5;

def reflective():
    h[:,0] = h[:,1]
    h[:,n+1] = h[:,n]
    h[0,:] = h[1,:]
    h[n+1,:] = h[n,:]
    u[:,0] = u[:,1]
    u[:,n+1] = u[:,n]
    u[0,:] = -u[1,:]
    u[n+1,:] = -u[n,:]
    v[:,0] = -v[:,1]
    v[:,n+1] = -v[:,n]
    v[0,:] = v[1,:]
    v[n+1,:] = v[n,:]

```

Annexe

Code 3 (partie 1)

```

def proses():
    #hx = (h[1:,:]+h[:,-1,:])/2-dt/(2*dx)*(u[1:,:]-u[:,-1,:])
    for i in range (n+1):
        for j in range (n):
            hx[i,j] = (h[i+1,j+1]+h[i,j+1])/2 - dt/(2*dx)*(u[i+1,j+1]-u[i,j+1])
            ux[i,j] = (u[i+1,j+1]+u[i,j+1])/2- dt/(2*dx)*((pow(u[i+1,j+1],2)/h[i+1,j+1]+ k/2*pow(h[i+1,j+1],2))
            vx[i,j] = (v[i+1,j+1]+v[i,j+1])/2 - dt/(2*dx)*((u[i+1,j+1]*v[i+1,j+1]/h[i+1,j+1]) - (u[i,j+1]*v[i,j

    for i in range (n):
        for j in range (n+1):
            hy[i,j] = (h[i+1,j+1]+h[i+1,j])/2 - dt/(2*dy)*(v[i+1,j+1]-v[i+1,j])
            uy[i,j] = (u[i+1,j+1]+u[i+1,j])/2 - dt/(2*dy)*((v[i+1,j+1]*u[i+1,j+1]/h[i+1,j+1]) - (v[i+1,j]*u[i+1
            vy[i,j] = (v[i+1,j+1]+v[i+1,j])/2 - dt/(2*dy)*((pow(v[i+1,j+1],2)/h[i+1,j+1] + k/2*pow(h[i+1,j+1],2

    for i in range (1,n+1):
        for j in range (1,n+1):
            h[i,j] = h[i,j] - (dt/dx)*(ux[i,j-1]-ux[i-1,j-1]) - (dt/dy)*(vy[i-1,j]-vy[i-1,j-1])
            u[i,j] = u[i,j] - (dt/dx)*((pow(ux[i,j-1],2)/hx[i,j-1] + k/2*pow(hx[i,j-1],2)) - (pow(ux[i-1,j-1],2
            v[i,j] = v[i,j] - (dt/dx)*((ux[i,j-1]*vx[i,j-1]/hx[i,j-1]) - (ux[i-1,j-1]*vx[i-1,j-1]/hx[i-1,j-1]))

    #dh = dt/dt*(ux[1:,:]-ux[:,-1,:])+ dt/dy*(vy[:,1:]-vy[:,:-1])
    reflective()
    return h,u,v
'''
for i in range (17):
    #print h
    proses(1)
'''

import matplotlib.pyplot as plt
from matplotlib import cm
from matplotlib.ticker import LinearLocator, FormatStrFormatter
from mpl_toolkits.mplot3d import Axes3D
a = n
x = np.arange(n+2)
y = np.arange(n+2)
x,y = np.meshgrid(x,y)

fig = plt.figure()

ax = fig.add_subplot(111, projection='3d')

def plotset():

```

Annexe

Code 3 (partie 2)

```
def plotset():
    ax.set_xlim3d(0, a)
    ax.set_ylim3d(0, a)
    ax.set_zlim3d(0.5, 1.5)
    ax.set_autoscalez_on(False)
    ax.zaxis.set_major_locator(LinearLocator(10))
    ax.zaxis.set_major_formatter(FormatStrFormatter('%.02f'))
    cset = ax.contour(x, y, h, zdir='x', offset=0, cmap=cm.hot)
    cset = ax.contour(x, y, h, zdir='y', offset=n, cmap=cm.hot)
    cset = ax.contour(x, y, h, zdir='z', offset=.5, cmap=cm.hot)

plotset()

surf = ax.plot_surface(x, y, h, rstride=1, cstride=1, cmap=cm.hot, 1

fig.colorbar(surf, shrink=0.5, aspect=5)

from matplotlib import animation
```

```
from matplotlib import animation

def data(k, h, surf):
    proses()
    ax.clear()
    plotset()
    surf = ax.plot_surface(x, y, h, rstride=1, c
    return surf,

ani = animation.FuncAnimation(fig, data, fargs=
ani.save('laser.mp4', bitrate=512)
plt.show()
```

Annexe

Code 3 (partie4)